

Islamic Azad University  
Najafabad BranchJournal Home Page: [www.jmatpro.ir](http://www.jmatpro.ir)

Iron &amp; Steel Society of Iran

## Formation of in Situ $\text{Si}_3\text{N}_4$ in the Cordierite- $\text{Si}_3\text{N}_4$ Composite Produced by Nano and Micro Silicon Particles

Somayeh Sharafi Zamir<sup>1\*</sup>, Majid Jafari<sup>1</sup>, Amir Abas Nourbakhsh<sup>2</sup>, Ahmad Monshi<sup>3</sup>

1- Department of Materials Engineering, Islamic Azad University, Najafabad branch, Isfahan, Iran

2- Department of Engineering, Islamic Azad University, Shahreza branch, Isfahan, Iran

3- Department of Materials Engineering, Isfahan University of Technology, Isfahan, Iran

---

### ARTICLE INFO

---

*Article history:*

Received: 14 Apr. 2010

Accepted: 18 Jul. 2010

---

*Keywords:*

Cordierite

Silicon nitride

Microstructure

Composite pore size

Nano silicon particles

---

### ABSTRACT

---

In this study the effect of in situ  $\text{Si}_3\text{N}_4$  formation in the microstructure of a Cordierite- $\text{Si}_3\text{N}_4$  composite using micro and nano silicon particles was investigated. It was found that micro and nano silicon particles have different reaction with the nitrogen in the matrix of cordierite at various temperatures. Result showed that using nano size silicon powder and increasing surface area formation of silicon nitride bonding will be increased which should be related to  $\text{Si}_3\text{N}_4$  formation in low temperature and prevent reacting with cordierite to form liquid phase during sintering. Additionally it was found that, it is possible to synthesis high porosity cordierite-  $\text{Si}_3\text{N}_4$  composite with a good thermal shock resistance.

---

---

\*Corresponding author: Somayeh Sharafi Zamir, sharafi1413@yahoo.com



## تشکیل $\text{Si}_3\text{N}_4$ به صورت درجا در کامپوزیت کوردیریت- $\text{Si}_3\text{N}_4$ سنتز شده با استفاده از نانو و میکرو ذرات سیلیکون

سمیه شرفی ضمیر<sup>۱\*</sup>، مجید جعفری<sup>۱</sup>، امیر عباس نوربخش<sup>۲</sup>، احمد منشی<sup>۳</sup>

۱- دانشکده مهندسی مواد، دانشگاه آزاد اسلامی واحد نجف آباد

۲- دانشکده مهندسی، دانشگاه آزاد اسلامی واحد شهرضا

۳- دانشکده مهندسی مواد، دانشگاه صنعتی اصفهان

### چکیده

در این تحقیق تاثیر تشکیل  $\text{Si}_3\text{N}_4$  به صورت درجا با استفاده از نانو و میکرو ذرات سیلیکون بر روی بدندهای کوردیریتی مورد بررسی قرار گرفته است. نتایج حاصله نشان دادند که واکنش نانو ذرات سیلیکون با نیتروژن متفاوت از میکرو ذرات سیلیکون در دماهای مختلف می‌باشد. با کاهش اندازه ذرات سیلیکون در ابعاد نانو و افزایش سطح ویژه ذرات، منجر به کاهش دمای تشکیل سیلیکون نایتراید در کوردیریت سنتز شده می‌گردد، بنابراین مانع از تشکیل فاز مذاب کوردیریت در حین تفجوشی و موجب نزدیکی دمای تشکیل دو فاز می‌شود. همچنین، امکان تشکیل یک بدنه متخلخل ساخته شده از کامپوزیت کوردیریت- $\text{Si}_3\text{N}_4$  با شوک پذیری مناسب وجود دارد.

### اطلاعات مقاله

تاریخ دریافت: ۱۳۸۹/۱/۲۵

تاریخ پذیرش: ۱۳۸۹/۴/۲۷

### واژگان کلیدی:

کوردیریت

سیلیکون نایتراید

ریزساختار

تخلخل

نانوذرات سیلیکون

با میکرو ذرات سیلیکون می باشد. همچنین تاثیر تغییرات نیتریداسیون که وابسته به اندازه ذرات سیلیکون و دمای واکنش می باشد، مورد بررسی قرار گرفته است. تشکیل  $\text{Si}_3\text{N}_4$  بصورت درجا در ماتریس کوردیریت بوسیله آنالیز تفرق اشعه ایکس (XRD)، ویژگی های حرارتی توسط آنالیز حرارتی همزمان (STA) و ویژگی های ریز ساختاری کامپوزیت کوردیریت- $\text{Si}_3\text{N}_4$  بوسیله میکروسکوپ الکترونی روبشی (SEM) بررسی گردید. نتایج حاصله نشان دادند که استفاده از نانوذرات سیلیکون موجب تشکیل باند نیتریدی و افزایش آن با افزایش درجه حرارت می باشد، که این موضوع بدليل کاهش درجه حرارت تشکیل فاز نیتریدی قبل از تشکیل فاز مذاب کوردیریت می باشد. همچنین نتایج نشان دادند که با استفاده از نانوذرات سیلیکون، امکان دستیابی به بدنه متخلخل با شوک پذیری مناسب وجود دارد.

## ۲- مواد و روشها

### ۱-۲- تهیه شاموت کوردیریت

مواد خام برای تهیه شاموت کوردیریت، شامل کائولن ( $\text{Z.lids}$ ) با متوسط اندازه دانه ۵ میکرومتر، تالک (جندق) ( $\text{Nabalox}$ ) با متوسط اندازه دانه ۱۵ میکرومتر و  $\text{Al}_2\text{O}_3$  ( $\text{MgO}=13/8$  wt.%،  $\text{SiO}_2=24/8$  wt.% و  $\text{Si}_3\text{N}_4=51/4$  wt.%) تهیه و سپس بمنظور افزایش دیرگذاری فاز مذاب همراه کوردیریت از آلومینا استفاده گردید.

### ۱- مقدمه

در دهه اخیر کامپوزیت های پایه کوردیریتی توجه بسیاری از محققین را به خود جلب کرده است. کوردیریت ( $2\text{MgO} \cdot 2\text{Al}_2\text{O}_3 \cdot 5\text{SiO}_2$ ) بدليل ضریب انبساط حرارتی پایین، و مقاومت به شوک حرارتی بالا، ثابت دی الکتریک کم ( $\epsilon=5-6$ ) و پایداری حرارتی و شیمیایی بالا در بسیاری از کاربردهای صنعتی مانند: دیرگذارها، عایق های حرارتی و صوتی، فیلترها، ممبرانها، المنت های حرارتی، مبدل های کاتالیستی و زیر پایه های چند لایه ای بکار می رود [۱-۴]. اما بدليل محدوده پخت باریک کوردیریت امکان استفاده از این سرامیک را در دمای بالارا محدود می کند [۳-۵].

سیلیکون نایتراید ( $\text{Si}_3\text{N}_4$ ) بدليل خواص مکانیکی و ترمومکانیکی خوب در دمای بالا می تواند یکی از مناسب ترین مواد به عنوان اگریگیت و فاز اتصالی در کامپوزیت های پایه کوردیریتی باشد [۸-۷]. بخصوص اینکه  $\text{Si}_3\text{N}_4$  دارای استحکام بالا در دمای بالا، مقاومت به تنش حرارتی خوب، که باعث ضریب انبساط حرارتی پایین در مقایسه با سایر مواد دما بالا می باشد [۹-۱۰].

در سال ۱۸۹۸، مطالعاتی بر روی سنتز کامپوزیت کوردیریت- $\text{Si}_3\text{N}_4$  مناسب برای موتورهای دیزل انجام شد [۱۴]. تحقیقات انجام شده نشان داد که، هدایت حرارتی این کامپوزیت کمتر از هدایت حرارتی  $\text{Si}_3\text{N}_4$  تفجوشی شده (SSN) می باشد. همچنین کامپوزیت کوردیریت- $\text{Si}_3\text{N}_4$  سنتز شده ضریب انبساط حرارتی پایین تر و کاهش کمتری در استحکام و چفرمگی نسبت به  $\text{Si}_3\text{N}_4$  تفجوشی شده دارد [۱۴].

هدف از این تحقیق تشکیل  $\text{Si}_3\text{N}_4$  بصورت درجا در ماتریس کوردیریت قبل از تشکیل فاز مذاب همراه کوردیریت با استفاده از نانوذرات سیلیکون و مقایسه آن

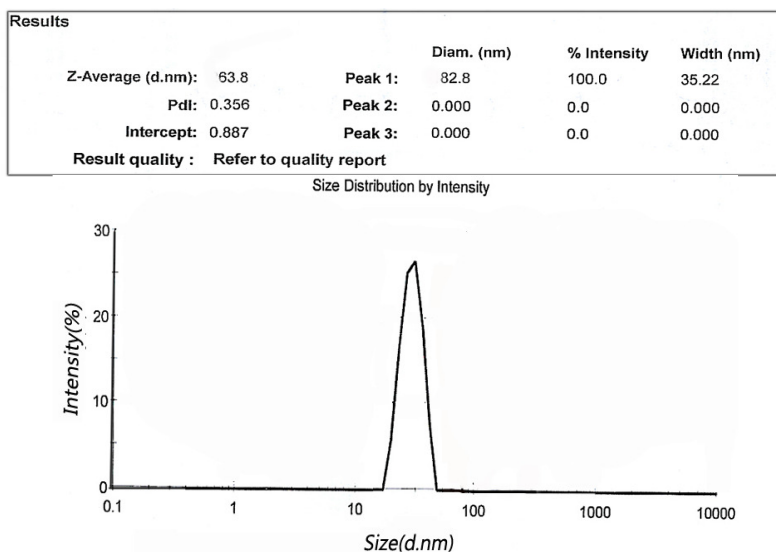
## جدول ۱- آنالیز شیمیایی مواد خام

**Table 1.** Chemical composition of raw materials

L.O.I	Na <sub>2</sub> O	K <sub>2</sub> O	CaO	Mgo	TiO <sub>2</sub>	Fe <sub>2</sub> O <sub>3</sub>	Al <sub>2</sub> O <sub>3</sub>	SiO <sub>2</sub>	Raw materials
13.25	0.03	1.02	0.36	0.25	0.17	0.85	36.7	47.1	Kolin (Z.lids)
7	0.12	0.46	0.85	31.5	0.08	0.5	25	57.5	Talc (Gndagh)
3.45	-	-	-	-	-	0.03	99.5	0.01	Alumina (Nabalox)

ترکیب به مدت ۳ ساعت در دماهای مختلف پخت و به منظور تعیین انتخاب بهترین نمونه با بیشترین دانسیته از روش ارشمیدس استفاده شد. فازهای کریستالی نمونه‌های کوردیریت تف‌جوشی شده به وسیله آنالیز تفرق اشعه ایکس (Philips PW3710) در ۴۰KV و ۳۰mA با استفاده از  $\text{CuK}_\alpha$  مشخص گردید.

ابتدا مواد اولیه برای تهیه شاموت کوردیریت، پس از توزین، در آسیاب گلوله‌ای با گلوله‌های از جنس آلومنیا به مدت ۲۴ ساعت به صورت تراش آسیا شدند. دوغاب بدست آمده در خشک کن در دمای ۸۰°C کاملاً خشک گردید. نمونه‌ها بصورت قرص‌هایی با قطر ۲۵mm و ضخامت ۵mm توسط پرس تک محوری تحت فشار ۵۰MPa پرس شدند. نمونه‌های پرس شده در هر



شکل ۱- توزیع اندازه ذرات نانو سیلیکون با استفاده از آنالیز دستگاهی

**Fig. 1.** Particel size analysis distribution of nano size silicon particles

۱۰ mlit/min پخته شدند. بدليل گرمaza بودن واکنش نيتريداسيون، كنترل دقیق عمليات حرارتی را باید انجام می‌گرفت. نرخ حرارت دهی حدود ۵°C/min با ۲ ساعت زمان ماندگاری در دمای ۶۰۰°C و ۳ ساعت زمان ماندگاری در دمای ماکزيم بمثابه گردید. دانسيته بالک و تخلخلهای باز به روش ارشميدس محاسبه گردید. فازهای كريستالي نمونه‌های تفجoshi شده به وسیله آناليز تفرق اشعه ايکس در ۴۰KV و ۳۰mA با استفاده از آناليز کامپوزيت  $K_a$  Cu توسط ميكروسكوب الکتروني (SEM) مورد بررسی قرار گرفت (Model:Vega/Tescan). همچنان جهت تعیین دمای شروع واکنش نيتريداسيون، از آناليز حرارتی همزمان (Model:Labsys-Setaram) (STA) در اتمسفر نيتروژن ۱۰°C/min تا دمای ۱۴۰۰°C با نرخ حرارت دهی حدود ۱۰°C/min استفاده شد. سطح ويژه ذرات نانو سيليكون به روش BET (Model:1042-Costech) (اندازه‌گيری گردید.

### ۳- نتایج و بحث

#### ۳-۱- انتخاب نمونه بهينه شاموت كورديريت

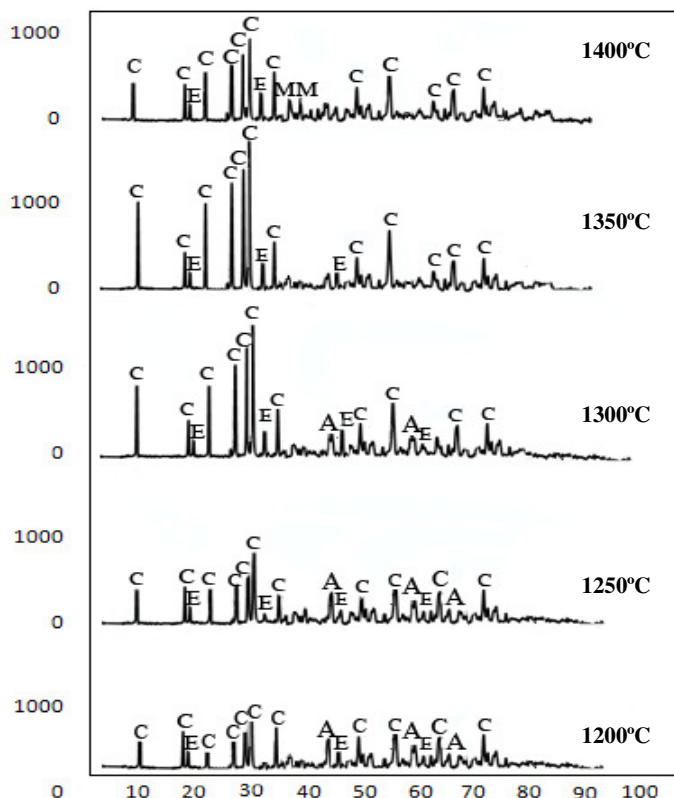
بعد از تهيه شاموت كورديريت، برای تعیين دانسيته از روش ارشميدس استفاده شد. نمونه با بيشترین دانسيته در هر دما انتخاب و سپس به منظور تعیين بيشترین فاز كريستالي در شاموت كورديريت از آناليز تفرق اشعه ايکس استفاده گردید که نتایج آن در شکل ۲ آورده شده است.

#### ۲-۲- آماده سازی پودر نانو سيليكون:

پودر سيليكون اوليه (Elkem) با متوسط اندازه دانه ۱۵µm برای تهيه نانو سيليكون مورد استفاده قرار گرفت. پودر سيليكون به روش مكانيكي در آسياب سياره‌اي پر انرژي، در جاره‌های پليموري به دليل جلوگيري از آلدوجي آهن با استفاده از گلوله‌های زيركونياي با دو قطر مختلف (۱۰mm و ۲۰mm) به مدت ۲۰۰ ساعت در اتمسفر آرگون آسياب شد. اندازه ذرات سيليكون توسط دستگاه آسياب (Malvern-U.K-Model of ZN 3200) (اندازه‌گيری گردید، توزيع اندازه ذرات در شکل ۱ ملاحظه می‌شود.

#### ۳-۲- تهيه کامپوزيت كورديريت- $Si_3N_4$

بهترین نمونه با بيشترین دانسيته از شاموت كورديريت که در دماهای مختلف پخت داده شده بودند، انتخاب شده و سپس نمونه‌های پخت داده شده خرد، آسياب و از الک ۱۰% w/w عبور داده شده و سپس با ۱، ۳، ۵ و ۲۲% w/w پودر نانو سيليكون مخلوط شدند. در جهت مقایسه رفتار نانو ذرات سيليكون در کامپوزيت كورديريت- $Si_3N_4$  از ميكرو ذرات سيليكون نيز با همين نسبت استفاده شد. سپس به صورت قرص‌هایي با قطر ۲۵mm و ضخامت ۳/۵mm تحت فشار ۱۵MPa ۱ توسيط پرس تک محوري، در قالبه‌اي از جنس فولاد زنگ نزن، پرس شدند. بدن‌های پرس شده در دماهای ۱۱۰۰، ۱۱۵۰، ۱۲۰۰، ۱۲۵۰ و ۱۳۰۰°C در كوره لوله‌اي (Exciton Model: BE-96) تحت اتمسفر نيتروژن با دبى حجمى

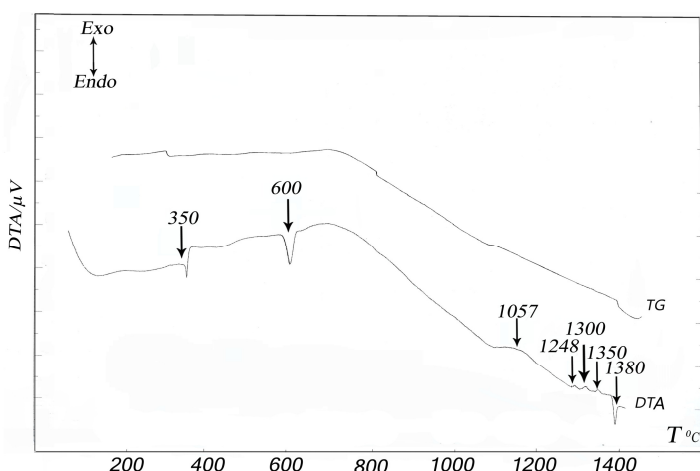


شکل ۲- آنالیز تفرق اشعه ایکس از کوردیریت سنتر شده در دمای مختلف. C: کوردیریت، E: اسپینل، A: کوراندوم

**Fig. 2.** XRD patterns of cordierite composite, sintered at different temperaturas, C: Cordierite, A: Curundum, E: Spinel

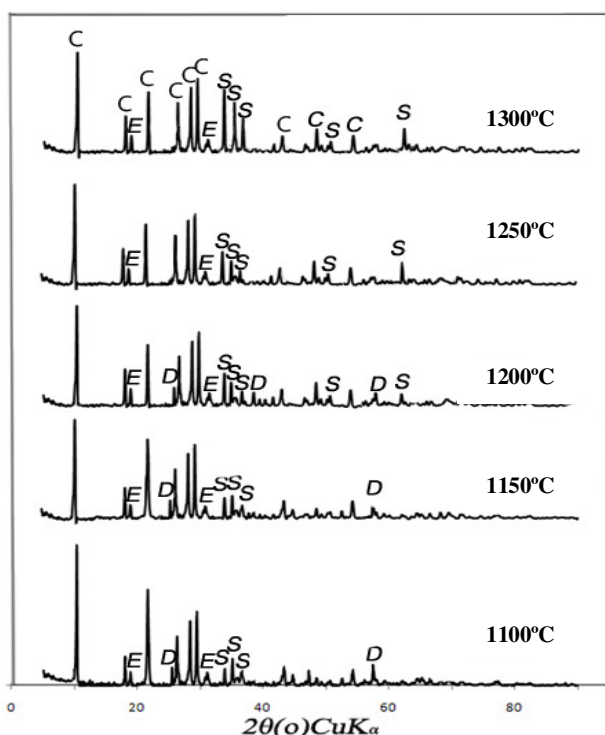
ذرات نانو سیلیکون بوده که توسط بررسی آنالیز فازی (XRD) نمونه‌های تف‌جوشی شده در ۱۱۰۰°C اثبات گردید. همانطور که ملاحظه می‌گردد کوردیریت،  $\text{Si}_3\text{N}_4$  اسپینل و کوراندوم در آنالیز فازی وجود داشته و در محدوده دمایی بالاتر فاز جدید دیگری مشاهده نگردیده است. در محدوده دمایی ۱۲۵۰-۱۳۵۰°C سه پیک کوچک گرمایی دیده می‌شود که احتمالاً به تشکیل کوردیریت ارتباط دارد [۱۵]. همچنین پیک گرمایی که در حدود دمای ۱۴۰۰°C دیده می‌شود، به ذوب سیلیکون در ابعاد نانو مربوط می‌شود.

**۲-۳- آنالیز حرارتی کامپوزیت کوردیریت- $\text{Si}_3\text{N}_4$**   
نتایج بررسی آنالیز حرارتی برای تعیین دمای شروع واکنش نیتریداسیون از مخلوط خام پودر کوردیریت و پودر نانو سیلیکون تا ماکریزم دمای ۱۴۰۰ درجه سانتی گراد تحت اتمسفر نیتروژن انجام گردید که نتایج آن در شکل ۳ نشان داده شده است. نتایج حاصله نشان می‌دهد که اولین پیک گرمایی در حدود دمای ۳۵۰°C به کاهش وزنی در اثر از دست دادن آب ساختاری و دومین پیک گرمایی در ۶۵۰°C به دهیترانه شدن کائولینیت مربوط می‌شود. پیک گرمایی که در محدوده دمایی بین ۱۱۰۰-۱۲۰۰°C مشاهده می‌گردد مربوط به نیتریداسیون



شکل ۳- آنالیز حرارتی از کامپوزیت کوردیت و نانو سیلیکون تفجوشی شده در دمای  $1400^{\circ}C$  در اتمسفر نیتروژن

**Fig. 3.** Differential thermal analysis of Cordierite and nano silicon powder sintered at  $1400^{\circ}C$  in the nitrogen atmosphere

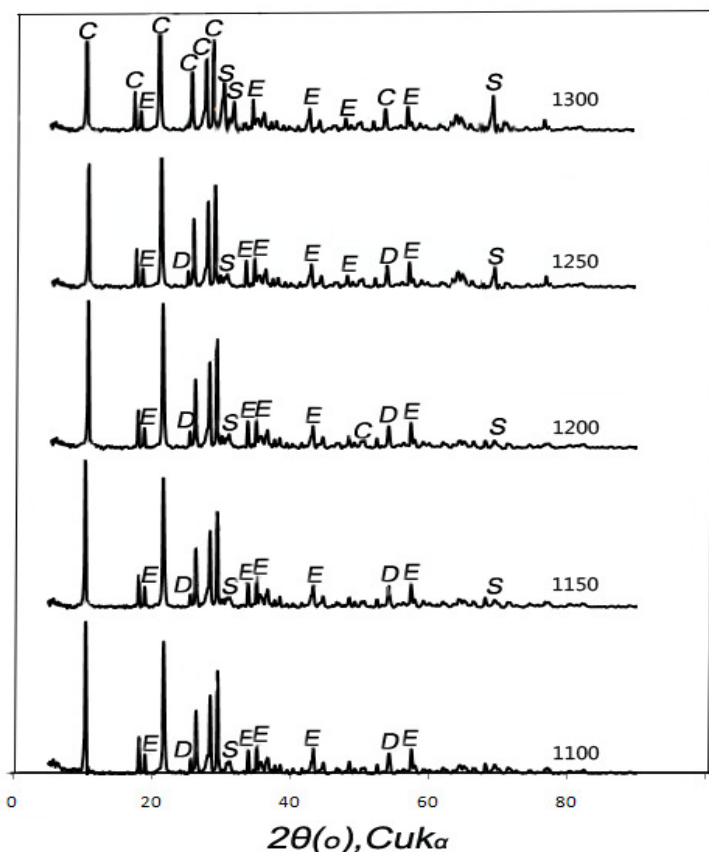


شکل ۴- الگوی پراش پرتو ایکس از کامپوزیت کوردیت-  $\text{Si}_3\text{N}_4$ ، تفجوشی شده در  $1100, 1150, 1200, 1250$  و  $1300^{\circ}C$  با  $10\text{ wt\%}$  نانو سیلیکون

**Fig. 4.** XRD patterns of  $\text{Si}_3\text{N}_4$ -cordierite composite, sintered at  $1100, 1150, 1200, 1250$  and  $1300^{\circ}C$  with  $10\text{ wt\%}$  nano silicon particles, C:Cordierite, S:Silicon nitride, A:Curundum, E:Spinel

طوریکه در  $1300^{\circ}\text{C}$  ما بیشترین شدت را برای فاز کریستالی  $\text{Si}_3\text{N}_4$  مشاهده می‌کنیم. اگرچه شدت پیکهای  $\text{Si}_3\text{N}_4$  در کامپوزیت کوردیریت- $\text{Si}_3\text{N}_4$  با استفاده از ذرات سیلیکون با سایز میکرو نیز با افزایش دما افزایش می‌یابد، اما شدت این پیکها کمتر از پیکهای گرفته شده با استفاده از پودر سیلیکون با سایز نانو می‌باشد. شدت پیکهای کوردیریت و اسپینل تقریباً ثابت هستند اما با افزایش دما شدت پیکهای کوراندوم کاهش می‌یابد.

۳-۳- آنالیز فازی کامپوزیت کوردیریت- $\text{Si}_3\text{N}_4$  با استفاده از نانو و میکرو ذرات سیلیکون شکلهای ۴ و ۵ الگوهای پراش پرتو ایکس (XRD) برای کامپوزیت کوردیریت- $\text{Si}_3\text{N}_4$  با ۱۰wt%  $\text{Si}_3\text{N}_4$  در دمای  $1200^{\circ}\text{C}$  مشاهده شده اند. در این الگو کوردیریت بعنوان فاز اصلی به همراه آن  $\text{Si}_3\text{N}_4$ ، اسپینل ( $\text{MgO} \cdot \text{Al}_2\text{O}_3$ ) و کوراندوم نیز مشاهده می‌گردد. در شکل ۴ مشاهده می‌شود که با افزایش دما شدت پیکهای  $\text{Si}_3\text{N}_4$  افزایش می‌یابند به

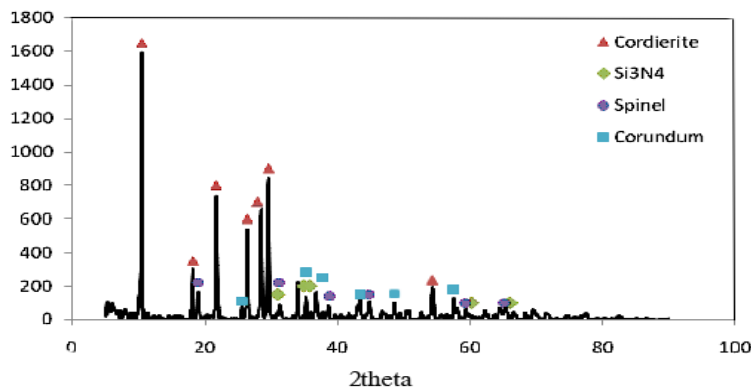


شکل ۵- الگوی پراش پرتو ایکس از کامپوزیت کوردیریت- $\text{Si}_3\text{N}_4$  پخته شده در  $1100, 1150, 1200, 1250$  و  $1300^{\circ}\text{C}$  با ۱۰wt% میکرو سیلیکون

**Fig. 5.** XRD patterns of  $\text{Si}_3\text{N}_4$ -cordierite composite, sintered at  $1100, 1150, 1200, 1250$  and  $1300^{\circ}\text{C}$ , with 10 wt% micro silicon particles.

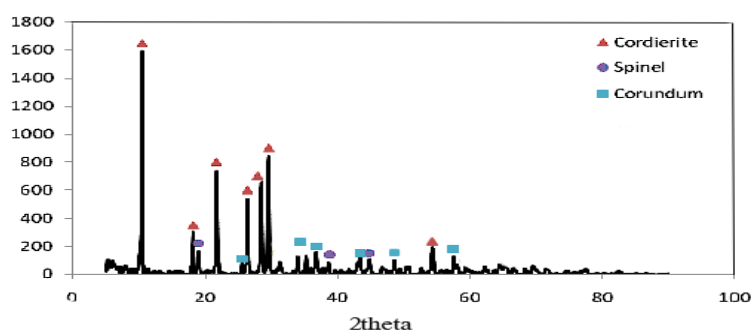
( $12-13 \text{ m}^2/\text{gr}$ ) واکنش پذیری سیلیکون با گاز ازت زیاد شده و عمق نفوذ نیتروژن به دلیل استفاده ذرات با سایز کوچکتر افزایش می‌یابد و به همین دلیل مقدار بیشتری از  $\text{Si}_3\text{N}_4$  در مقایسه با استفاده از ذرات با سایز میکرون تشکیل شده و رشد کریستالهای آن نیز افزایش می‌یابد [۱۳]. از طرف دیگر به دلیل محدوده باریک پخت کوردیریت، استفاده از نانو ذرات سیلیکون موجب کاهش دمای تشکیل سیلیکون نایتراید می‌گردد، بنابراین از ذوب کوردیریت در طی فرایند تفجوشینگ در دمای بالا جلوگیری کرده و عدم حضور فاز مذاب باعث بهتر نیتریده شدن قطعه بخصوص در عمق آن می‌گردد.

نکته جالب توجهه تشکیل  $\text{Si}_3\text{N}_4$  در دمای  $900^\circ\text{C}$  با استفاده از ذرات نانو سیلیکون می‌باشد (شکل ۶). هرچند شدت پیک‌های  $\text{Si}_3\text{N}_4$  تشکیل شده با استفاده از ذرات نانو سیلیکون ضعیف بوده اما نشان دهنده تشکیل این فاز در دمای کمتری نسبت به دمای تشکیل آن می‌باشد. با استفاده از ذرات میکرو سیلیکون این فاز مشاهده نگردید (شکل ۷). در فرایند نیتریده کردن مستقیم سیلیکون فلزی، ابتدا فیلم نازکی از  $\text{Si}_3\text{N}_4$  روی سطح ذرات Si تشکیل می‌شود و به مرور نیتروژن از این لایه به داخل ذره نفوذ می‌کند تا کل ذره تبدیل به سیلیکون نایتراید شود. با کاهش اندازه ذرات در اندازه نانو و افزایش سطح ویره



شکل ۶- الگوی پراش پرتو ایکس از کامپوزیت کوردیریت- $\text{Si}_3\text{N}_4$  با ۳ wt%  $\text{Si}_3\text{N}_4$  نانو سیلیکون سنتز شده در  $900^\circ\text{C}$

Fig. 6. XRD patterns of  $\text{Si}_3\text{N}_4$ -cordiearite composite, with 3%wt nano silicon particles synthesis in  $900^\circ\text{C}$

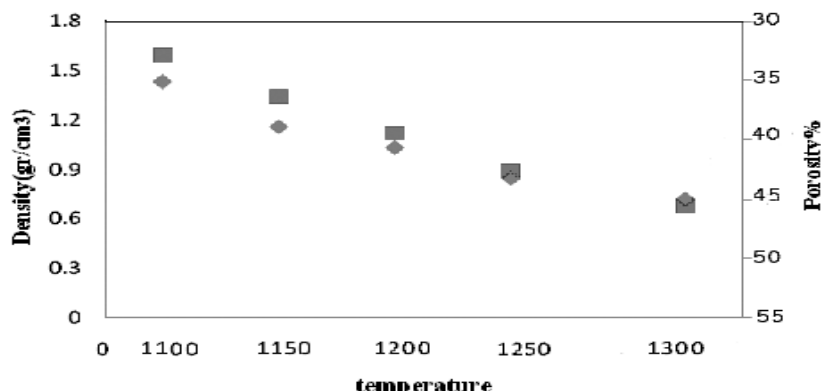


شکل ۷- الگوی پراش اشعه ایکس از کامپوزیت کوردیریت- $\text{Si}_3\text{N}_4$  با استفاده از ۳ wt%  $\text{Si}_3\text{N}_4$  میکرو سیلیکون سنتز شده در  $900^\circ\text{C}$

Fig. 7. XRD patterns of  $\text{Si}_3\text{N}_4$ -cordiearite composite, with 3%wt nano silicon particles synthesis in  $900^\circ\text{C}$

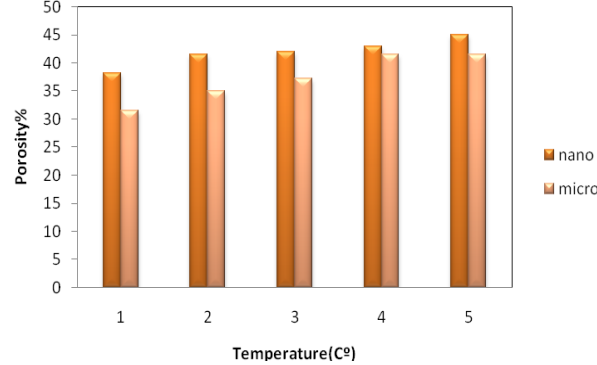
می باشد که این به دلیل افزایش حجم در اثر تبدیل  $\text{Si}_3\text{N}_4$  می باشد. افزایش تخلخل ناشی از افزایش حجم در کامپوزیت کوردیریت- $\text{Si}_3\text{N}_4$  نیز بدلیل افزایش نیتریداسیون ذرات نانو سیلیکون است. توزیع اندازه تخلخل ها با کاهش اندازه ذرات سیلیکون به مقادیر بالاتری افزایش می یابد. زیرا سطح ویژه برای ذرات نانو سیلیکون ( $12-13 \text{ m}^2/\text{gr}$ ) بیشتر از ذرات میکرو سیلیکون ( $1.6-2 \text{ m}^2/\text{gr}$ ) می باشد. بنابراین نیتریداسیون بیشتر و افزایش حجم بیشتری خواهیم داشت.

**۴-۳-تاثیر میکرو و نانو ذرات سیلیکون بر روی دانسیته کامپوزیت کوردیریت- $\text{Si}_3\text{N}_4$**   
شکل ۸ و ۹ منحنی دانسیته و تخلخل کامپوزیت کوردیریت- $\text{Si}_3\text{N}_4$  را با استفاده از  $10\text{wt}\%$  نانو و میکرو ذرات سیلیکون که در دما  $1100-1300^\circ\text{C}$  تفجوشی شده اند، نشان می دهد. همانطور که ملاحظه می گردد، دانسیته در هر دو کامپوزیت با افزایش دما کاهش می یابد. کاهش دانسیته در کامپوزیت کوردیریت- $\text{Si}_3\text{N}_4$  با استفاده از نانو ذرات سیلیکون بیشتر از میکرو ذرات سیلیکون



شکل ۸- منحنی دانسیته کامپوزیت کوردیریت- $\text{Si}_3\text{N}_4$  با  $10\text{wt}\%$  نانو و میکروسیلیکون، تفجوشی شده در دمای مختلف. ▲ میکرو، ■ نانو

**Fig. 8.** Density of  $\text{Si}_3\text{N}_4$ -Cordierite composite with 1, 3, 5 and 10%wt nano and micro silicon particles. sintered at different temperature. ▲ nano, ■ micro



شکل ۹- منحنی میزان تخلخل کامپوزیت کوردیریت- $\text{Si}_3\text{N}_4$  با ۱، ۳، ۵ و  $10\text{wt}\%$  نانو و میکرو سیلیکون تفجوشی شده در  $1100^\circ\text{C}$

**Fig. 9.** Porosity of  $\text{Si}_3\text{N}_4$ -Cordierite composite with 1, 3, 5 and 10% nano and micro silicon particles sintered at  $1100^\circ\text{C}$

دمای ذوب کوردیریت می باشد مورفولوژی های مختلفی از سیلیکون نایتراید مشاهده می شود (شکل ۱۰-d). مورفولوژی اول سوزنهای بلندی با ارتفاع  $1\text{ }\mu\text{m}$  و قطر چند نانومتر (قسمت هایی که در شکل ۱۰-d نشان داده شده است) دیگری ذرات هم محور کوچکی در حد میکرومتر که در بعضی قسمتها به صورت آگلومره در آمده اند که می تواند به مکانیزم SDP (انحلال، رسوب، نفوذ) مربوط می شود. مورفولوژی سوزنی شکل از طریق مکانیزم بخار - مایع - جامد تشکیل می شوند [۱۳]. تشکیل فاز سوزنی شکل سیلیکون نایتراید در دمای  $1300^{\circ}\text{C}$ ، تشکیل فاز مایع را در این دما تایید می کند که می تواند دلیل خوبی برای استفاده از نانو سیلیکون برای کاهش دمای تشکیل سیلیکون نایتراید باشد.

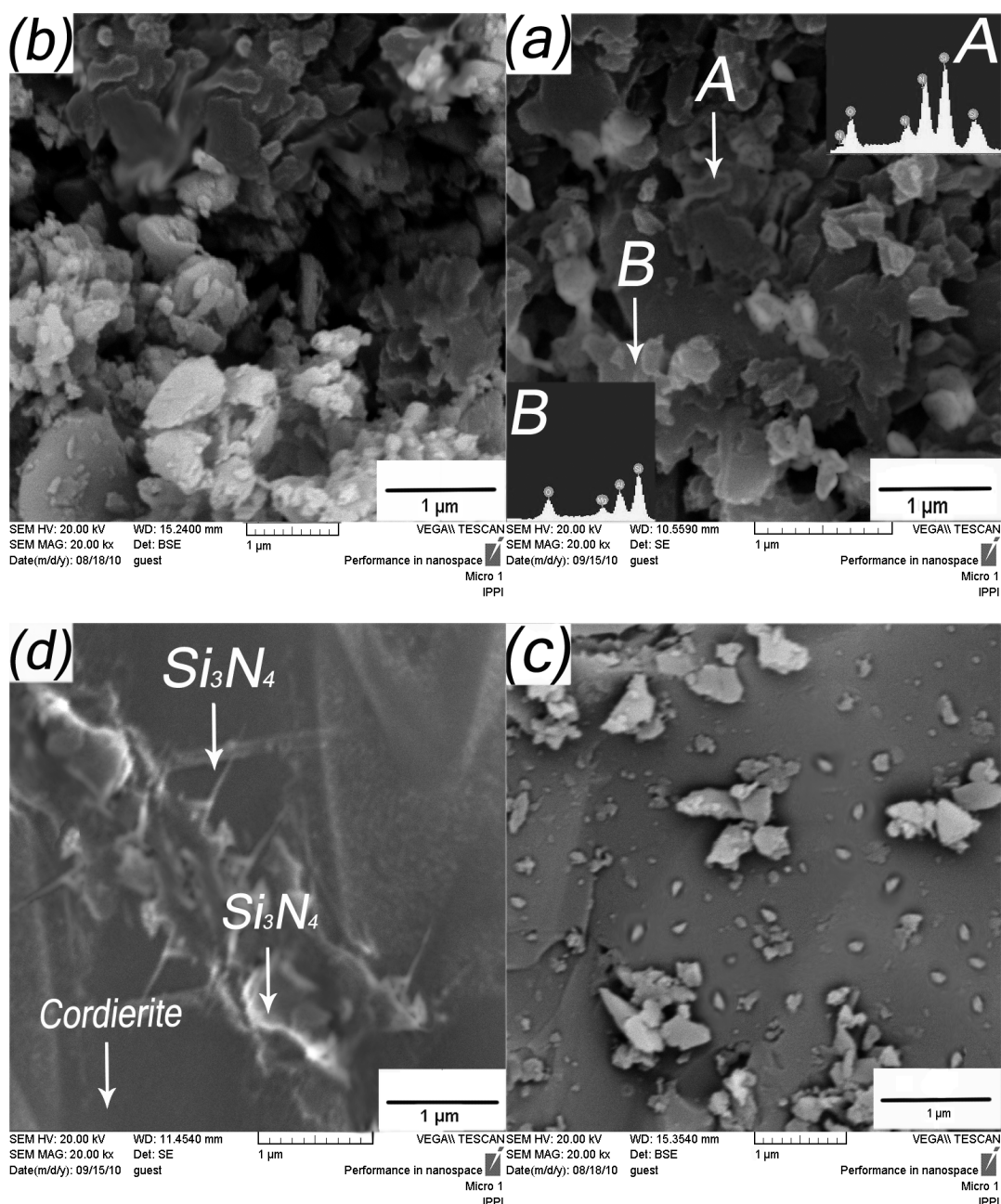
#### ۴- نتیجه گیری

تشکیل  $\text{Si}_3\text{N}_4$  به صورت درجا در کامپوزیت کوردیریت- $\text{Si}_3\text{N}_4$  تحت تاثیر اندازه ذرات سیلیکون و توزیع اندازه ذرات سیلیکون می باشد. با استفاده از ذرات کوچکتر در اندازه نانو و افزایش سطح ویژه نرخ واکنش در دمای پایین افزایش می یابد. کاهش اندازه ذره باعث افزایش نیتریداسیون در دمای پایین تر و منجر به کاهش دمای نهایی واکنش می گردد. به دلیل تشکیل  $\text{Si}_3\text{N}_4$  درجا در کامپوزیت کوردیریت- $\text{Si}_3\text{N}_4$  و افزایش حجم مقدار زیادی تخلخل در ماتریس باقی می ماند.

۵-۳- تاثیر نانو و میکرو ذرات سیلیکون بر روی ریزساختار کامپوزیت کوردیریت  $\text{Si}_3\text{N}_4$  ستز شده در دماهای  $1100$  و  $1300$   $^{\circ}\text{C}$

شکل ۱۰ a-b تصویر میکروسکوپ الکترونی کامپوزیت کوردیریت- $\text{Si}_3\text{N}_4$  ستز شده با استفاده از  $10\text{ wt\%}$  میکرو و نانو سیلیکون در دمای  $1100^{\circ}\text{C}$  و شکل ۸ c-d کامپوزیت کوردیریت- $\text{Si}_3\text{N}_4$  ستز شده با همان نسبت در دمای  $1300^{\circ}\text{C}$  را نشان می دهد. نتایج آنالیز EDS نشان می دهد که ذرات خاکستری شامل عناصر Al، Si و Mg ذرات سفید شامل عناصر N می باشند. با مقایسه شکل ۸ a-b و c-d در کامپوزیت ستز شده با استفاده از ذرات نانو سیلیکون ریزساختار  $\text{Si}_3\text{N}_4$  ریزتر و هموزن تر از ریز ساختار به دست آمده با ذرات میکرو سیلیکون می باشد. هر چند در بعضی قسمتها آگلومره شدن مشاهده می شود. این نشان می دهد که با کاهش اندازه ذرات در حد نانو و افزایش سطح ویژه سیلیکون، واکنش دهی با گاز نیتروژن بیشتر شده و ساختار یکنواختی از بلورهای  $\text{Si}_3\text{N}_4$  بدست آمده است. از طرفی، جداسازی فازی بین کوردیریت و  $\text{Si}_3\text{N}_4$  بدليل اختلاف دمای ذوب بین کوردیریت و  $\text{Si}_3\text{N}_4$  مشاهده می شود.

در این تصاویر تشکیل فاز نایتراید بروی سطح کوردیریت آگلومره شده با مورفولوژی هم محور بخوبی دیده می شود. با افزایش بیشتر دما تا  $1300^{\circ}\text{C}$  که نزدیک به



شکل ۱۰- تصویر میکروسکوپ الکترونی (SEM) کامپوزیت کوردیریت- $Si_3N_4$  سنتز شده با استفاده از ۱۰wt% میکرو سیلیکون در دمای ۱۱۰۰°C (b) نانو سیلیکون در دمای ۱۱۰۰ °C (c) میکرو سیلیکون در دمای ۱۳۰۰ °C (d) نانو سیلیکون در دمای ۱۳۰۰ °C

**Fig. 10.** Scanning electron micrographs of  $Si_3N_4$ -cordierite composite with 10wt%, (a) micro silicon at 1100 °C, (b) Nano silicon at 1100°C, (c) micro silicon at 1300°C, (d) Nano silicon at 1300°C.

after exposure in industrial gas turbines”, Journal of European Ceramic Society, Vol. 22, 2002, pp. 2789–2797.

[9] V. Pavarajarn, T. Vongthavorn, P. Praserthdam, “Enhancement of direct nitridation of silicon by common metals in silicon nitride processing”, Ceramic International, Vol. 33, 2007, pp. 675–680.

[10] A. Demir, Z. Tatli, F. Caliskan, A.O. Kurt, “Carbothermal reduction and nitridation of quartz mineral for the production of alpha silicon nitride powders”, Materials Science Forum, Vol. 554, 2007, pp. 163–168.

[11] M.D. Alcala, J.M. Criado, C. Real, “Influence of the experimental conditions Predecki”, P. and Haas, J., “Structural aspects of the lattice thermal expansion of hexagonal cordierite”, Journal of American Ceramic Society, Vol. 70, 1987, pp. 175–182.

[12] R.M. Smart, F.P. Glasser, “The subsolidus phase equilibria and melting temperatures of MgO–Al<sub>2</sub>O<sub>3</sub>–SiO<sub>2</sub>”, Ceramic International, Vol. 7 (3), 1981, pp. 90–97.

[13] A.J. Pyzik, D.F. Carroll, “Technology of Self-Reinforced Silicon Nitride” Annual Review of Materials Science, Vol. 24, 1994, pp. 189–214.

[14] F. Chang, T. Liou1, F. Tsai, “The nitridation kinetics of silicon powder compacts”, Thermochimica Acta, Vol. 354, 2000, pp. 71–80.

[15] Sh. Liu, Y. Zeng, D. Jiang, “Fabrication and characterization of cordierite bonded porous SiC ceramics”, Ceramics International, Vol. 35 (2), 2009, pp. 597–602.

## مراجع

- [1] M. Nogami, S. Ogawa, K. Nagasaki, “Preparation of cordierite glass by sol–gel process”, Journal of Materials Science, Vol. 24, 1989, pp. 4339–4342.
- [2] A.M. Kazakos, S. Komarneni, R. Roy, “Sol–gel processing of cordierite: effect of seeding and optimisation of heat treatment”, Journal of Materials Research, Vol. 5, 1990, pp. 1095–1103.
- [3] J.H. Jean, T.K. Gupta, “Liquid-phase sintering in the glass–cordierite system”, Journal of Materials Sciences, Vol. 27, 1992, pp. 1575–1584.
- [4] S.H. Knickerbocker, A.H. Kumar, L.W. Heron, “Cordierite glassceramics for multilayer ceramic packaging”, American Ceramic Society Bulletin, Vol. 72 (1), 1993, pp. 90–95.
- [5] K. Sumi, Y. Kobayashi, E. Kato, “Low temperature fabrication of cordierite from kaolinite and magnesium hydroxide with boron oxide additions”, Journal of American Ceramic Society, Vol. 82 (3), 1994, pp. 783–785.
- [6] R. Petrovic, Dj. Janackovic, S. Zec, S. Drmanic, Lj. Kostic-Gvozdenovic, “Phase-transformation kinetics in triphasic cordierite gel”, Materials Research, Vol. 16 (2), 2002, pp. 451–458.
- [7] K. Houjou, K. Ando, M.C. Chu, S.P. Liu, S. Sato, “Effect of sintering additives on the oxidation behavior of Si<sub>3</sub>N<sub>4</sub> ceramics at 1300°C”, Journal of European Ceramic Society, Vol. 25, 2005, pp. 559–567.
- [8] H.T. Lin, M.K. Ferber, “Mechanical reliability evaluation of silicon nitride ceramic components